

- [5] Хаткевич А. Г. // Кристаллография. 1962. Т. 7. № 5. С. 742—747.  
 [6] Дълесан Э., Руайе Д. Упругие волны в твердых телах. М.: Наука, 1982. 424 с.  
 [7] Сорокина Т. П., Бурков С. И., Сорокин Б. П. // ФТТ. 1989. Т. 31. № 12. С. 156—158.

Красноярский сельскохозяйственный институт

Поступило в Редакцию  
26 сентября 1989 г.  
В окончательной редакции  
2 февраля 1990 г.

УДК 538.69 · 539.124

© Физика твердого тела, том 32, № 7, 1990  
Solid State Physics, vol. 32, N 7, 1990

## СОЛИТОННЫЙ И ДОМЕННЫЙ ВКЛАДЫ В НЕРАВНОВЕСНУЮ ДИЭЛЕКТРИЧЕСКУЮ ПРОНИЦАЕМОСТЬ В $Rb_2ZnCl_4$

C. A. Гридинев, C. A. Прасолов, B. V. Горбатенко

В работе [1] было установлено, что метастабильное состояние в со-размерной сегнетоэлектрической фазе (СФ) кристаллов хлорцинката рубидия  $Rb_2ZnCl_4$  обусловлено по крайней мере двумя физическими процессами с временами релаксации  $\tau_1$  и  $\tau_2$ . Первый процесс связывался с закреплением доменных границ (ДГ), образовавшихся ниже  $T_k$  ( $T_k$  — температура фазового перехода из несразмерной фазы (НФ) в СФ), подвижными точечными дефектами (ТД). Второй процесс обусловлен изменением концентрации солитонов, не распавшихся в  $T_k$ .

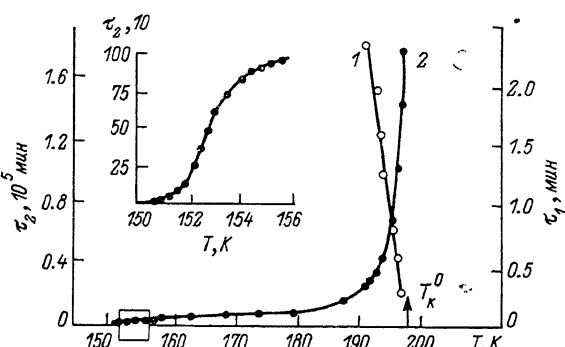


Рис. 1. Температурные зависимости  $\tau_1$  (1) и  $\tau_2$  (2), снятые при охлаждении кристаллов  $Rb_2ZnCl_4$  ниже  $T_k$ .

На вставке — зависимость  $\tau_2$  (T) в увеличенном масштабе.

Однако в работе [1] не разделены солитонный и доменный вклады в неравновесную диэлектрическую проницаемость  $\epsilon_x$ . Поэтому в настоящей работе поставлена задача выделить вклады в неравновесную  $\epsilon_x$  от каждого указанного выше физического процесса во всем интервале метастабильного состояния ниже  $T_k$ .

Кристаллы  $Rb_2ZnCl_4$  были выращены методом регулируемого понижения температуры перенасыщенного водного раствора. Измерение  $\epsilon_x$  и проводимости  $G_x$  на частоте 1592 Гц при напряженности измерительного поля 0.3 В/см проводили на образцах X-среза в виде прямоугольных пластин размером  $7 \times 5 \times 0.5$  мм с напыленными серебряными электродами с помощью полупроводникового моста ВМ-484 с записью кривых  $\epsilon_x$  (T) и  $G_x$  (T) на двухкоординатных самописцах Н-307/1. Регистрацию

$\epsilon_x$  и  $G_x$  осуществляли в режиме плавного изменения температуры со скоростью около 0.3 К/мин или при изотермической выдержке образца при заданной температуре. Точность стабилизации температуры была не хуже 0.01 К. Температуру измеряли платиновым термометром сопротивления с точностью не ниже 0.01 К.

Как отмечалось в [1], при изотермической выдержке образца на криевой охлаждения при любой температуре вблизи  $T_k$  в СФ диэлектрическая проницаемость уменьшается со временем  $t$  по закону, близкому к экспоненциальному.

Временные зависимости  $\epsilon_x$  достаточно хорошо аппроксимируются выражением

$$\epsilon_x(t) = \epsilon_\infty + \epsilon_{x1} \exp(-\sqrt{t/\tau_1}) + \epsilon_{x2} \exp(-\sqrt{t/\tau_2}),$$

где  $\epsilon_\infty$  — равновесная диэлектрическая проницаемость (диэлектрическая проницаемость, измеренная при нагревании образца, после его охлаждения ниже метастабильной области);

$\epsilon_{x1}$ ,  $\epsilon_{x2}$  — диэлектрические проницаемости, соответствующие доменному и солитонному вкладам в неравновесную диэлектрическую проницаемость в первоначальный момент, т. е. при  $t=0$ ;  $\tau_1$ ,  $\tau_2$  — времена релаксации этих физических процессов.

О справедливости выбора вышеуказанного выражения для описания временных зависимостей  $\epsilon_x$  свидетельствует тот факт, что экспериментальные точки в координатах  $\ln [\epsilon_x(t) - \epsilon_\infty]$  от  $\sqrt{t}$  хорошо укладываются на два отрезка прямых, наклон которых позволяет определить  $\tau_1$  и  $\tau_2$  при данной температуре.

В результате обработки экспериментальных кривых  $\epsilon(t)$ , снятых

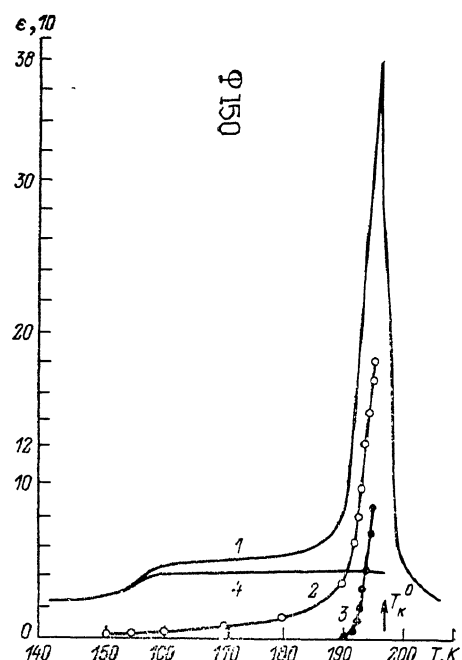


Рис. 2. Температурные зависимости  $\epsilon_x$  (1),  $\epsilon_{x1}$  (2),  $\epsilon_{x2}$  (3) и  $\epsilon_\infty$  (4), снятые при охлаждении образца кристаллов  $Rb_2ZnCl_4$  ниже  $T_k$ .

для различных температур, построены температурные зависимости  $\tau_1$  и  $\tau_2$  (рис. 1). Описание временных зависимостей  $\epsilon_x$  суммой двух экспоненциальных функций дало возможность исходя из эксперимента построить температурные зависимости различных вкладов в  $\epsilon_x$  (рис. 2).

Из рис. 1 видно, что ход температурных зависимостей  $\tau_1$  (1) и  $\tau_2$  (2) качественно различен:  $\tau_1$ , уменьшаясь, стремится к нулю, в то время как  $\tau_2$  увеличивается по закону, близкому к гиперболическому при  $T \rightarrow T_k^0$  ( $T_k^0$  — температура в окрестности  $T_k$ , при которой значение  $\epsilon_x$ , снятое при охлаждении (рис. 2, 1), имеет максимальное значение). Кроме того, нетрудно убедиться, что  $\tau_2$  характеризует очень медленные процессы релаксации, так как по абсолютной величине  $\tau_2$  существенно больше, чем  $\tau_1$ .

В том случае, когда образец охлаждался от комнатной температуры, интервал метастабильного состояния, обусловленный одновременно солитонным и доменным процессами (рис. 2, кривые 2, 3 соответственно), составлял всего 5.3 К ниже  $T_k^0$ . При дальнейшем охлаждении временные зависимости  $\epsilon_x$  обусловлены практически только распадом солитонов.

Наличие солитонного и доменного вкладов в неравновесную  $\epsilon_x$  кристалла  $Rb_2ZnCl_4$  согласуется также с результатами работы [2], где по-

казано, что кривая плотности солитонов от температуры, рассчитанная из диэлектрических измерений вблизи  $T_k$  в СФ, проходит выше, чем соответствующая кривая, построенная по данным ЭПР. Причем несоответствие кривых приходится на интервал температур порядка 5 К ниже  $T_k^0$ , в котором, кроме солитонного, присутствует также доменный вклад в неравновесную  $\epsilon_x$ .

Подчеркнем, что в интервале температур от 155 до 152.5 К, соответствующем нижней границе области метастабильного состояния, где кривая  $\epsilon_\infty(T)$  имеет излом (рис. 2, 4), постоянная времени  $\tau_2$  резко уменьшается с 1000 до 0.3 мин (вставка на рис. 1). Это и приводит при более низких температурах практически к совпадению кривой  $\epsilon_x(T)$ , снятой при охлаждении, с кривой  $\epsilon_x(T)$ , снятой при нагревании.

В заключение авторы приносят искреннюю благодарность Л. А. Шувалову за постоянный интерес к работе и В. М. Варикашу за любезно предоставленные кристаллы.

### Список литературы

- [1] Гриднев С. А., Шувалов Л. А., Прасолов Б. Н., Санников В. Г. // ФТТ. 1989. Т. 31. № 9. С. 97—100.
- [2] Бочкова Т. М., Трубицын М. П., Бочков О. Е. // ФТТ. 1988. Т. 30. № 10. С. 3100—3104.

Воронежский политехнический институт

Поступило в Редакцию  
2 февраля 1990 г.

УДК 535.36

© Физика твердого тела, том 32, № 7, 1990  
*Solid State Physics, vol. 32, N 7, 1990*

## КОМБИНАЦИОННОЕ РАССЕЯНИЕ СВЕТА В СВЕРХТОНКИХ АМОРФНЫХ СВЕРХРЕШЕТКАХ Si—SiO<sub>2</sub>

*B. H. Денисов, B. H. Маврин, F. A. Пудонин, E. A. Виноградов*

В последнее время наряду с кристаллическими сверхрешетками большой интерес вызывают и аморфные сверхрешетки [1]. В спектрах комбинационного рассеяния (КР) аморфных сверхрешеток ожидаются те же эффекты размерного квантования, что и для кристаллических сверхрешеток: конфайнмент оптических мод, появление интерфейсных оптических мод, сложение зон и, как следствие, активность в КР акустических фононов. Спектры КР также дают непосредственную информацию о качестве сверхрешеток, степени их упорядоченности и составе. До сих пор исследовался оптический спектр КР лишь аморфной сверхрешетки Si—Ge [2, 3]. В настоящей работе обсуждаются спектры КР сверхтонких аморфных сверхрешеток Si—SiO<sub>2</sub> в области 35—700 см<sup>-1</sup>.

Параметры аморфных сверхрешеток Si—SiO<sub>2</sub>  
(толщины монослоев:  $d_{\text{Si}} = 1.37$ ,  $d_{\text{SiO}_2} = 2.7$  Å)

<i>N</i>	Число моно- слоев Si	Толщина слоя Si, Å	Число моно- слоев SiO <sub>2</sub>	Число перио- дов в сверх- решетке
1	2	2.7	4	90
2	4	5.5	4	50
3	6	8.2	4	30
4	8	11	4	50